

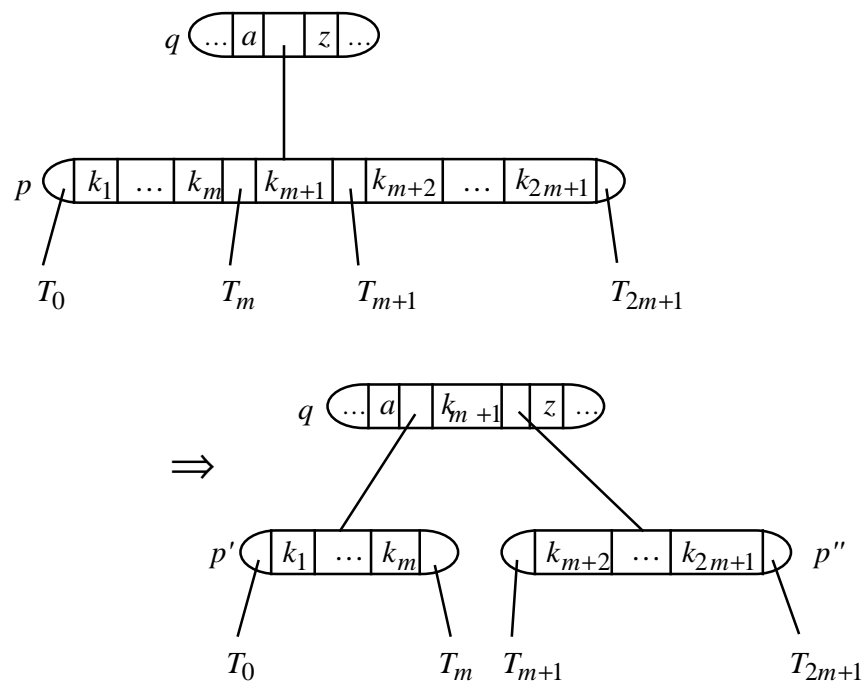
## Datenstrukturen

Kurseinheit 5

Algorithmus von Dijkstra zur Bestimmung kürzester Wege

Externes Suchen: B-Bäume

Autoren: Ralf Hartmut Güting und Stefan Dieker





## **Vorbemerkung**

In dieser kurzen Kurseinheit werden für Teilnehmer des Kurses 1661 “Datenstrukturen I” noch zwei besonders relevante Themen aus dem Rest des Kurses 1663 “Datenstrukturen” behandelt, nämlich der Algorithmus von Dijkstra zur Bestimmung kürzester Wege in Graphen, sowie der B-Baum, eine Datenstruktur für externes Suchen, die vor allem in Datenbanksystemen eine wichtige Rolle spielt.

## **Inhalt der Kurseinheit 5**

<b>Vorbemerkung</b>	<b>A-1</b>
<b>7 Graph-Algorithmen</b>	<b>211</b>
7.1 Bestimmung kürzester Wege von einem Knoten zu allen anderen	211
Implementierungen des Algorithmus Dijkstra	216
(a) mit einer Adjazenzmatrix	216
(b) mit Adjazenzlisten und als Heap dargestellter Priority Queue	217
7.2 Literaturhinweise	218
<b>8 Externes Suchen</b>	<b>219</b>
8.1 Externes Suchen: B-Bäume	220
Einfügen und Löschen	224
Overflow	225
Underflow	226
8.2 Literaturhinweise	230
<b>Lösungen zu den Selbsttestaufgaben</b>	<b>A-1</b>
<b>Literatur</b>	<b>A-3</b>
<b>Index</b>	<b>A-5</b>
<b>Inhaltsverzeichnis zum Kurs 01661 Datenstrukturen I</b>	<b>A-7</b>
<b>Index zum Kurs 01661 Datenstrukturen I</b>	<b>A-11</b>

## Lehrziele der Kurseinheit 5

Nach dem Durcharbeiten dieser Kurseinheit sollten Sie

- den Algorithmus von Dijkstra zur Bestimmung *kürzester Wege* in Graphen und mögliche Implementierungen erklären können;
- die Laufzeit dieses Algorithmus für die beiden Implementierungen analysieren können;
- erklären können, welche Kosten bei Algorithmen auf Hintergrundspeicher entstehen und wie dies die Analyse beeinflußt;
- das Konzept des Vielweg-Suchbaums erklären können;
- die Strukturbedingungen für den B-Baum kennen;
- die Höhe eines B-Baums herleiten können;
- die B-Baum-Algorithmen (z.B. für das Einfügen und Löschen) erklären und an Beispielen vorführen können.

## 7 Graph-Algorithmen

Wir betrachten in [Abschnitt 7.1](#) einen der wichtigsten Graph-Algorithmen, nämlich den Algorithmus von Dijkstra zur Bestimmung kürzester Wege von einem Startknoten aus.

### 7.1 Bestimmung kürzester Wege von einem Knoten zu allen anderen

Gegeben sei ein gerichteter Graph, dessen Kanten mit positiven reellen Zahlen (Kosten) beschriftet sind. Die Aufgabe besteht nun darin, für einen beliebigen Startknoten  $v$  die kürzesten Wege zu allen anderen Knoten im Graphen zu berechnen. Die Länge eines Weges (oder Pfades) ist dabei definiert als die Summe der Kantenkosten. Dieses Problem ist bekannt als das *single source shortest path*-Problem.

Ein Algorithmus zur Lösung dieses Problems ist der *Algorithmus von Dijkstra*, der auf folgender Idee beruht. Ausgehend vom Startknoten  $v$  läßt man innerhalb des Graphen  $G$  einen Teilgraphen wachsen; der Teilgraph beschreibt den bereits erkundeten Teil von  $G$ . Innerhalb des Teilgraphen gibt es zwei Arten von Knoten und zwei Arten von Kanten. Der Anschaulichkeit halber stellen wir uns vor, daß diese Arten farblich unterschieden werden. Die Knoten können grün oder gelb gefärbt sein. *Grüne Knoten* sind solche, in denen bereits alle Kanten zu Nachfolgern betrachtet wurden; die Nachfolger liegen daher mit im bereits erkundeten Teilgraphen, können also grün oder gelb sein. Bei *gelben Knoten* sind die ausgehenden Kanten noch nicht betrachtet worden; gelbe Knoten bilden also den Rand oder die Peripherie des Teilgraphen. Die Kanten innerhalb des Teilgraphen sind gelb oder rot; die *roten Kanten* bilden innerhalb des Teilgraphen einen *Baum der kürzesten Wege*. In jedem Knoten des Teilgraphen wird der Abstand zu  $v$  verwaltet (über den bisher bekannten kürzesten Weg). Der Teilgraph wächst nun, indem in jedem Schritt der gelbe Knoten mit minimalem Abstand von  $v$  ins Innere des Teilgraphen übernommen, also grün gefärbt wird; seine Nachfolgerknoten werden, soweit sie noch nicht im Teilgraphen lagen, zu neuen gelben Knoten. Für gelbe Knoten, die so erneut erreicht werden, sind die für sie bisher bekannten kürzesten Pfade (rote Kanten) ggf. zu korrigieren.

**Beispiel 7.1:** Gegeben sei folgender Graph  $G$ . Alle Knoten und Kanten sind noch ungefärbt.  $A$  sei der Startknoten.

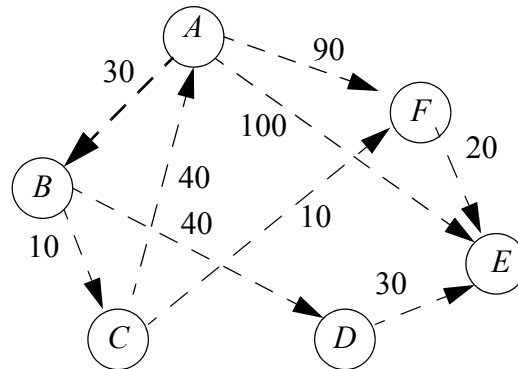


Abbildung 7.1: Ausgangsgraph  $G$

*Tip:* Kennzeichnen Sie bitte selbst in den folgenden Graphen die Knoten und Kanten farblich entsprechend, dann sind sie besser zu unterscheiden.

Zu Anfang ist nur  $A$  gelb und wird im ersten Schritt in einen grünen Knoten umgewandelt, während  $B$ ,  $E$  und  $F$  als seine Nachfolger gelb und die Kanten dorthin rot werden:

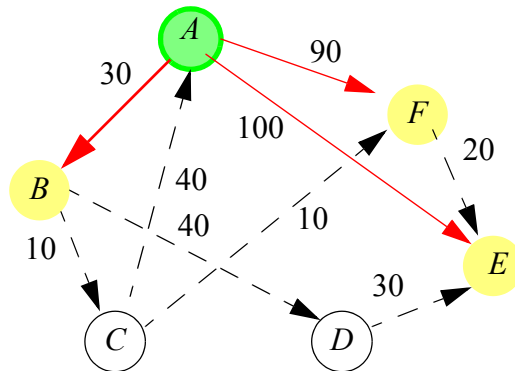


Abbildung 7.2: Erster Schritt

Dann wird  $B$  als gelber Knoten mit minimalem Abstand zu  $A$  grün gefärbt; gleichzeitig werden die noch nicht besuchten Knoten  $C$  und  $D$  zu gelben:

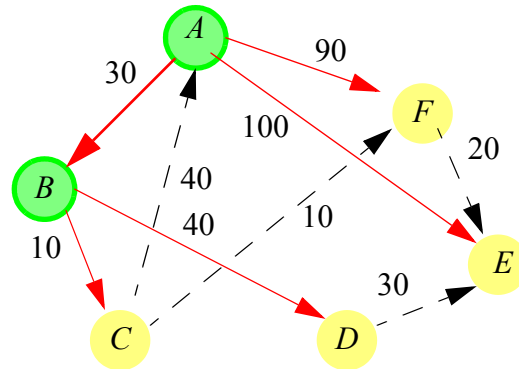


Abbildung 7.3: Zweiter Schritt

Als nächster gelber Knoten mit minimalem Abstand zu  $A$  wird  $C$  grün:

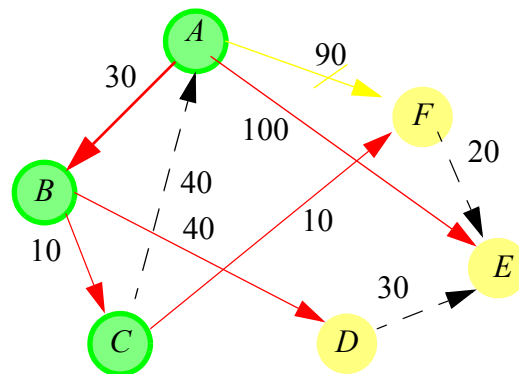


Abbildung 7.4: Dritter Schritt

Hier ist  $F$  über  $C$  zum zweiten Mal erreicht worden. Der aktuelle Weg dorthin ist aber der bislang kürzeste. Deshalb wird die rote Kante  $(A, F)$  in eine gelbe umgewandelt, und die Kante  $(C, F)$  wird rote Kante zu  $F$ . Der Baum der roten Kanten ist im Moment:

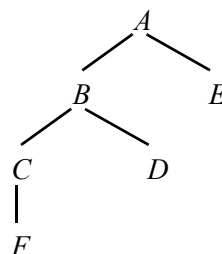


Abbildung 7.5: Aktueller Baum der roten Kanten

Der Endzustand des Graphen und des Baumes ist folgender:

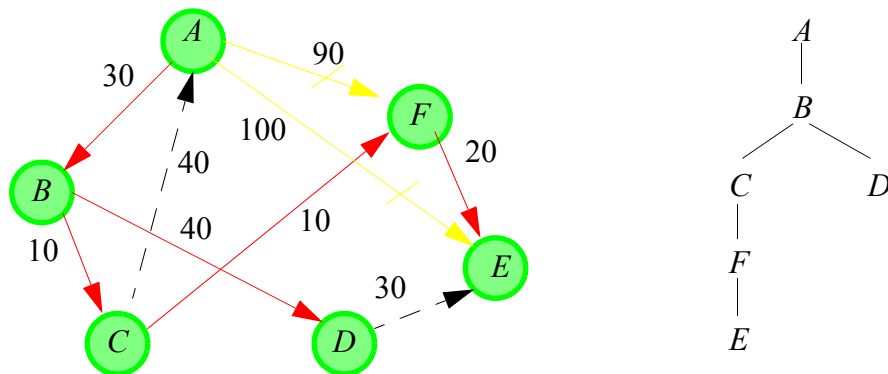


Abbildung 7.6: Endzustand des Graphen und des Baumes der roten Kanten

□

Dieser Algorithmus läßt sich dann wie folgt formulieren. Bezeichne  $dist(w)$  den Abstand des Knotens  $w$  vom Startknoten  $v$ , und seien  $GELB$  und  $GRÜN$  die beschriebenen Knotenmengen. Bezeichne  $succ(w)$  die Menge der Nachfolger (-Nachbarn) des Knotens  $w$  in  $G$ . Sei  $cost(w, w')$  das Kostenmaß der Kante  $(w, w')$ .

```

algorithm Dijkstra ( $v$ )
  {berechne alle kürzesten Wege vom Knoten  $v$  aus}
   $GRÜN := \emptyset$ ;  $GELB := \{v\}$ ;  $dist(v) := 0$ ;
  while  $GELB \neq \emptyset$  do
    wähle  $w \in GELB$ , so daß  $\forall w' \in GELB: dist(w) \leq dist(w')$ ;
    färbe  $w$  grün;
    for each  $w_i \in succ(w)$  do
      if  $w_i \notin (GELB \cup GRÜN)$                                 {noch nicht besuchter Knoten}
      then färbe die Kante  $(w, w_i)$  rot;
        färbe  $w_i$  gelb;  $dist(w_i) := dist(w) + cost(w, w_i)$ 
      elseif  $w_i \in GELB$                                        { $w_i$  erneut erreicht}
      then if  $dist(w_i) > dist(w) + cost(w, w_i)$ 
        then färbe die Kante  $(w, w_i)$  rot;
          färbe die bisher rote Kante zu  $w_i$  gelb;
           $dist(w_i) := dist(w) + cost(w, w_i)$ 
        else färbe  $(w, w_i)$  gelb
        end if
      else färbe  $(w, w_i)$  gelb                                { $w_i \in GRÜN$ }
      end if
    end for
  end while.
  
```



Bei der Terminierung des Algorithmus sind also alle Knoten grün, die von  $v$  aus erreichbar sind. Es können ungefärbte Knoten und Kanten verbleiben, die dann von  $v$  aus nicht erreichbar sind.

Man muß nun noch zeigen, daß der Algorithmus von Dijkstra korrekt ist, d.h. tatsächlich kürzeste Wege berechnet. Dazu beweisen wir zunächst die folgenden Lemmata:

**Lemma 7.2:** Zu jeder Zeit ist für jeden Knoten  $w \in GELB$  der rote Pfad zu  $w$  minimal unter allen gelbroten Pfaden zu  $w$ , das heißt solchen, die nur gelbe oder rote Kanten haben.

**Beweis:** Wir führen Induktion über die Folge grün gefärbter Knoten durch.

*Induktionsanfang:*

Die Behauptung gilt für  $v$ , da noch keine Kante gefärbt ist.

*Induktionsschluß:*

Annahme: Die Aussage gilt für  $GRÜN$  und  $GELB$ .

Jetzt wird  $w \in GELB$  grün gefärbt. Seien  $w_1, \dots, w_n$  die Nachfolger von  $w$ . Für die  $w_i$  sind folgende Fälle zu unterscheiden:

- (a)  $w_i$  wurde zum erstenmal erreicht, war also bisher ungefärbt und wird jetzt gelb.

Der einzige gelbrote Pfad zu  $w_i$  hat die Form  $v \Rightarrow w \rightarrow w_i$  (bezeichne " $\Rightarrow$ " einen Pfad, " $\rightarrow$ " eine einzelne Kante). Der Pfad  $v \Rightarrow w$  ist nach der Induktionsannahme minimal. Also ist  $v \Rightarrow w_i$  minimal.

- (b)  $w_i$  ist gelb und wurde erneut erreicht.

Der bislang rote Pfad zu  $w_i$  war  $v \Rightarrow x \rightarrow w_i$ , der neue rote Pfad zu  $w_i$  ist der kürzere Pfad unter den Pfaden

- (1)  $v \Rightarrow x \rightarrow w_i$  und
- (2)  $v \Rightarrow w \rightarrow w_i$ .

Der Pfad (1) ist minimal unter allen gelbroten Pfaden, die nicht über  $w$  führen, (2) ist minimal unter allen, die über  $w$  führen (wie in (a)), also ist der neue Pfad minimal unter allen gelbroten Pfaden.

□

**Lemma 7.3:** Wenn ein Knoten grün gefärbt wird, dann ist der rote Pfad zu ihm der kürzeste von allen Pfaden im Graphen  $G$ .

**Beweis:** Der Beweis benutzt wieder Induktion über die Folge grün gefärbter Knoten.

*Induktionsanfang:*

$v$  wird zuerst grün gefärbt, es gibt noch keinen roten Pfad.

*Induktionsschluß:*

Annahme: Die Aussage gilt für *GRÜN* und *GELB*. Nun wird  $w$  als gelber Knoten mit minimalem Abstand zu  $v$  grün gefärbt. Der rote Pfad zu  $w$  ist nach [Lemma 7.2](#) minimal unter allen gelbroten Pfaden. Nehmen wir an, es gibt einen kürzeren Pfad zu  $w$  als diesen; er muß dann eine nicht gelbrote Kante enthalten. Da ungefärbte Kanten nur über gelbe Knoten erreichbar sind, muß es einen gelben Knoten  $\bar{w}$  geben, über den dieser Pfad verläuft, er hat also die Form

$$v \Rightarrow \bar{w} \xrightarrow{\uparrow \text{ungefärbte Kante}} w.$$

Da aber  $w$  minimalen Abstand unter allen gelben Knoten hat, muß schon der Pfad  $v \Rightarrow \bar{w}$  mindestens so lang sein wie  $v \Rightarrow w$ , also ist  $v \Rightarrow \bar{w} \Rightarrow w$  nicht kürzer. Somit erhält man einen *Widerspruch* zur Annahme, es gebe einen kürzeren Pfad, und die Behauptung ist bewiesen.  $\square$

**Satz 7.4:** Der Algorithmus von Dijkstra berechnet die kürzesten Pfade zu allen von  $v$  erreichbaren Knoten.

**Beweis:** Nach Ablauf des Algorithmus sind alle erreichbaren Knoten grün gefärbt. Die Behauptung folgt dann aus [Lemma 7.3](#).  $\square$

## Implementierungen des Algorithmus Dijkstra

### (a) mit einer Adjazenzmatrix

Sei  $V = \{1, \dots, n\}$  und sei  $\text{cost}(i, j)$  die Kosten-Adjazenzmatrix mit Einträgen  $\infty$  an den Matrixelementen, für die keine Kante existiert. Man benutzt weiter:

```

type node = 1..n;
var dist : array[node] of real;
var father : array[node] of node;
var green : array[node] of bool;

```

Der Array *father* stellt den Baum der roten Kanten dar, indem zu jedem Knoten sein Vaterknoten festgehalten wird. Jeder Schritt (in dem ein Knoten hinzugefügt bzw. grün gefärbt wird) besteht dann aus folgenden Teilschritten:

- Der gesamte Array *dist* wird durchlaufen, um den gelben Knoten  $w$  mit minimalem Abstand zu finden. Der Aufwand hierfür ist  $O(n)$ .
- Die Zeile *cost* ( $w, -$ ) der Matrix wird durchlaufen, um für alle Nachfolger von  $w$  ggf. den Abstand und den Vater zu korrigieren, was ebenfalls einen Aufwand von  $O(n)$  ergibt.

Die Zeitkomplexität ist daher insgesamt  $O(n^2)$ , da die obigen Teilschritte  $n$  mal durchgeführt werden.

Diese Implementierung ist ineffizient, wenn  $n$  nicht sehr klein oder  $e \approx n^2$  ist.

**Selbsttestaufgabe 7.1:** Formulieren Sie die Methode *Dijkstra* für die Implementierung mit einer Adjazenzmatrix. Nehmen Sie vereinfachend an, daß der Startknoten der Knoten 1 sei (in einer Implementierung per Array in Java also der Knoten mit dem Index 0) und der Graph zusammenhängend ist. □

### (b) mit Adjazenzenlisten und als Heap dargestellter Priority Queue

Der Graph sei durch Adjazenzenlisten mit Kosteneinträgen dargestellt. Es gebe Arrays *dist* und *father* wie unter (a). Zu jeder Zeit besitzen grüne und gelbe Knoten Einträge in *dist* und *father*. Weiterhin sind gelbe Knoten mit ihrem Abstand vom Ausgangsknoten als Ordnungskriterium in einer als Heap (im Array) dargestellten Priority Queue repräsentiert. Heap-Einträge und Knoten sind miteinander doppelt verkettet, d.h. der Heap-Eintrag enthält die Knotennummer, und ein weiterer Array

**var heapaddress : array[node] of 1..n**

enthält zu jedem Knoten seine Position im Heap. Ein Einzelschritt des Algorithmus von Dijkstra besteht dann aus folgenden Teilen:

1. Entnimm den gelben Knoten  $w_i$  mit minimalem Abstand aus der Priority Queue. Das erfordert einen Aufwand von  $O(\log n)$ .
2. Finde in der entsprechenden Adjazenzenliste die  $m_i$  Nachfolger von  $w_i$ . Hier ist der Aufwand  $O(m_i)$ .
  - a. Für jeden "neuen" gelben Nachfolger erzeuge einen Eintrag in der Priority Queue. – Kosten  $O(\log n)$ .
  - b. Für jeden "alten" gelben Nachfolger korrigiere ggf. seinen Eintrag in der Priority Queue. Seine Position dort ist über *heapaddress* zu finden. Da sein Abstandswert bei der Korrektur sinkt, kann der Eintrag im Heap ein Stück nach oben wandern. Auch hier entstehen Kosten  $O(\log n)$ . Die Heap-Adressen der vertauschten Einträge im Array *heapaddress* können in  $O(1)$  Zeit geändert werden.

Der Aufwand für (a) und (b) beträgt insgesamt  $O(m_i \log n)$ .

Es gilt:  $\sum m_i = e$  mit  $e = |E|$ . Über alle Schritte des Algorithmus summiert ist der Aufwand für (2)  $O(e \log n)$ . Der Aufwand für (1) ist ebenfalls  $O(e \log n)$ , da ein Element nur aus der Priority Queue entnommen werden kann, wenn es vorher eingefügt wurde. Also ist der Gesamtaufwand bei dieser Implementierung  $O(e \log n)$ , der Platzbedarf ist  $O(n + e)$ .

## 7.2 Literaturhinweise

Der Algorithmus zur Berechnung aller kürzesten Wege von einem Knoten aus stammt von Dijkstra [1959] (in der Adjazenzmatrix-Implementierung); die Benutzung eines Heaps wurde von Johnson [1977] vorgeschlagen. Das beste bekannte Resultat für dieses Problem mit einer Laufzeit von  $O(e + n \log n)$  stammt von Fredman und Tarjan [1987]. Eine Variante des Algorithmus von Dijkstra ist der im Bereich der Künstlichen Intelligenz bekannte A\*-Algorithmus ([Hart *et al.* 1968], siehe auch [Nilsson 1982]). Anstelle des Knotens mit minimalem Abstand vom Startknoten wird dort in jedem Schritt der Knoten mit minimalem geschätztem Abstand vom Zielknoten hinzugenommen ("grün gefärbt"). Zur Schätzung wird eine "Heuristikfunktion" benutzt.

## 8 Externes Suchen

Wir haben bisher stillschweigend angenommen, daß beliebig komplexe Datenstrukturen bzw. alle von einem Algorithmus benötigten Daten komplett im Hauptspeicher gehalten werden können. Für manche Anwendungen trifft diese Annahme nicht zu, vor allem aus zwei Gründen:

1. Daten sollen *persistent* sein, das heißt, die Laufzeit des Programms überdauern. Dazu sind sie z.B. auf “externem” Plattenspeicher zu halten.
2. Die zu verarbeitende Datenmenge ist schlicht zu groß, um gleichzeitig vollständig in den Hauptspeicher zu passen.

Wir sprechen von einem *externen* Algorithmus, wenn zur Verarbeitung einer Objektmenge der Größe  $n$  nur  $O(1)$  interner Speicherplatz benötigt wird (und natürlich  $\Omega(n)$  externer Speicherplatz, also Platz auf Hintergrundspeicher). Eine *externe* Datenstruktur ist vollständig auf Hintergrundspeicher dargestellt; wir sprechen dann auch von einer *Speicherstruktur*.

Das typische externe Speichermedium sind heute Magnetplatten. Beim Entwurf externer Algorithmen muß man ihre Zugriffscharakteristika beachten. Im Hauptspeicher ist das Lesen oder Schreiben von  $k$  Bytes im allgemeinen  $k$ -mal so teuer wie das Lesen/Schreiben eines Bytes. Auf Plattenspeicher ist das Lesen/Schreiben eines Bytes nicht wesentlich billiger als z.B. das Lesen/Schreiben von 1 kByte, da ein Großteil der Kosten (also der Zugriffszeit) auf das Positionieren des Lese/Schreibkopfes auf eine Spur der Platte und das Warten auf den Block innerhalb der Spur (während der Rotationszeit der Platte) entfällt. Als Konsequenz davon werden Daten grundsätzlich in größeren Einheiten, genannt *Blöcke*, von der Platte gelesen oder auf sie geschrieben. Typische Blockgrößen, die etwa in Betriebssystemen oder Datenbanksystemen benutzt werden, liegen zwischen 512 und 8192 Bytes (also  $1/2$  K bis 8 K). Aus der Sicht dieser Systeme werden Blöcke oft als *Seiten* bezeichnet. Der Zeitbedarf eines Seitenzugriffs ist relativ hoch; die CPU kann in dieser Zeit gewöhnlich viele tausend Instruktionen ausführen. Daher betrachtet man als *Kostenmaß für die Laufzeit* eines externen Algorithmus meist die *Anzahl der Seitenzugriffe*.

Da externer Speicherplatz in Form von Seiten zur Verfügung gestellt wird, mißt man den *Platzbedarf* einer Speicherstruktur als *Anzahl der belegten Seiten*. Da innerhalb einer Seite aus organisatorischen Gründen im allgemeinen nur ein Teil des angebotenen Platzes tatsächlich mit Information belegt ist, ist ein weiteres interessantes Maß für externe Speicherstrukturen ihre *Speicherplatzausnutzung*, die definiert ist als

$$\frac{\text{Anzahl benutzter Bytes}}{\text{Anzahl Seiten} * \text{Anzahl Bytes/Seite}}$$

und die gewöhnlich in % angegeben wird.

## 8.1 Externes Suchen: B-Bäume

Wir betrachten das Problem des externen Suchens:

Gegeben eine Menge von Datensätzen mit Schlüsseln aus einem geordneten Wertebereich, organisiere diese Menge so, daß ein Datensatz mit gegebenem Schlüssel effizient gefunden, eingefügt oder entfernt werden kann.

Effizient heißt nun: mit möglichst wenig Seitenzugriffen. Es geht also um eine externe Implementierung des Dictionary-Datentyps.

Eine Idee, die zu einer eleganten Lösung führt, besteht darin, *Speicherseiten als Knoten eines Suchbaums aufzufassen*. Um die Kosten für eine Suche, die der Pfadlänge entsprechen, möglichst gering zu halten, wählt man *Bäume mit hohem Verzweigungsgrad*. Wir haben ja schon in [Abschnitt 3.6](#) gesehen, daß die minimale Höhe eines Baumes vom Grad  $d$   $O(\log_d n)$  ist; binäre Bäume mit Höhe  $O(\log_2 n)$  stellen dabei den schlechtesten Fall dar.

Ein *allgemeiner Suchbaum* (auch *Vielweg-Suchbaum* genannt) ist eine Verallgemeinerung des binären Suchbaums; eine solche Struktur ist in [Abbildung 8.1](#) gezeigt:

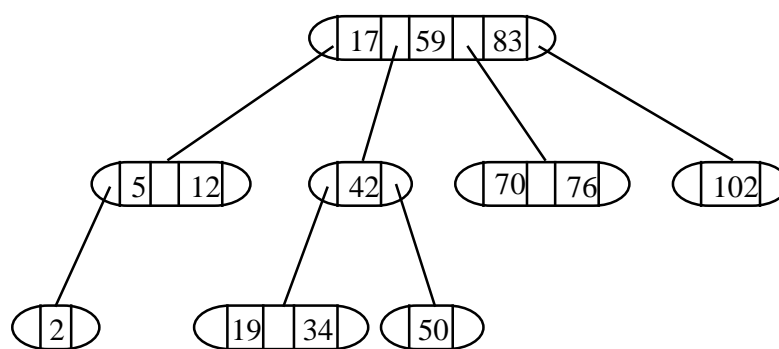


Abbildung 8.1: Vielweg-Suchbaum

**Definition 8.1:** (Vielweg-Suchbäume)

- (i) Der leere Baum ist ein Vielweg-Suchbaum mit Schlüsselmenge  $\emptyset$ .
- (ii) Seien  $T_0, \dots, T_s$  Vielweg-Suchbäume mit Schlüsselmenge  $\bar{T}_0, \dots, \bar{T}_s$  und sei  $k_1, \dots, k_s$  eine Folge von Schlüsseln, sodaß gilt:

$$k_1 < k_2 < \dots < k_s.$$

Dann ist die Folge

$$T_0 \ k_1 \ T_1 \ k_2 \ T_2 \ k_3 \ \dots \ k_s \ T_s$$

ein Vielweg-Suchbaum genau dann, wenn gilt:

$$\forall x \in \bar{T}_i : \quad k_i < x < k_{i+1} \quad \text{für } i = 1, \dots, s-1$$

$$\forall x \in \bar{T}_0 : \quad x < k_1$$

$$\forall x \in \bar{T}_s : \quad k_s < x$$

Seine Schlüsselmenge ist  $\{k_1, \dots, k_s\} \cup \bigcup_{i=0}^s \bar{T}_i$

Der in diesem Abschnitt zu besprechende *B-Baum* ist eine spezielle Form eines Vielweg-Suchbaumes, dessen Struktur folgende Bedingungen erfüllt:

**Definition 8.2:** (B-Bäume) Ein B-Baum der Ordnung  $m$  ist ein Vielweg-Suchbaum mit folgenden Eigenschaften:

- (i) Die Anzahl der Schlüssel in jedem Knoten mit Ausnahme der Wurzel liegt zwischen  $m$  und  $2m$ . Die Wurzel enthält mindestens einen und maximal  $2m$  Schlüssel.
- (ii) Alle Pfadlängen von der Wurzel zu einem Blatt sind gleich.
- (iii) Jeder innere Knoten mit  $s$  Schlüsseln hat genau  $s+1$  Söhne (das heißt, es gibt keine leeren Teilbäume).

Ein B-Baum würde für die Schlüsselmenge des Vielweg-Suchbaumes aus [Abbildung 8.1](#) z.B. so aussehen (Ordnung 2):

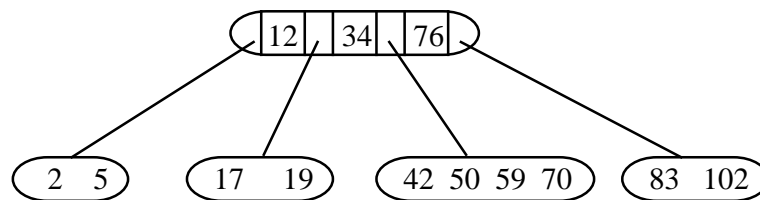


Abbildung 8.2: B-Baum zum Vielweg-Suchbaum aus [Abbildung 8.1](#)

Aus der Strukturdefinition können wir bereits eine obere Schranke für die Höhe eines B-Baumes der Ordnung  $m$  mit  $n$  Schlüsseln ableiten. Wir betrachten dazu einen minimal gefüllten B-Baum der Höhe  $h$ :

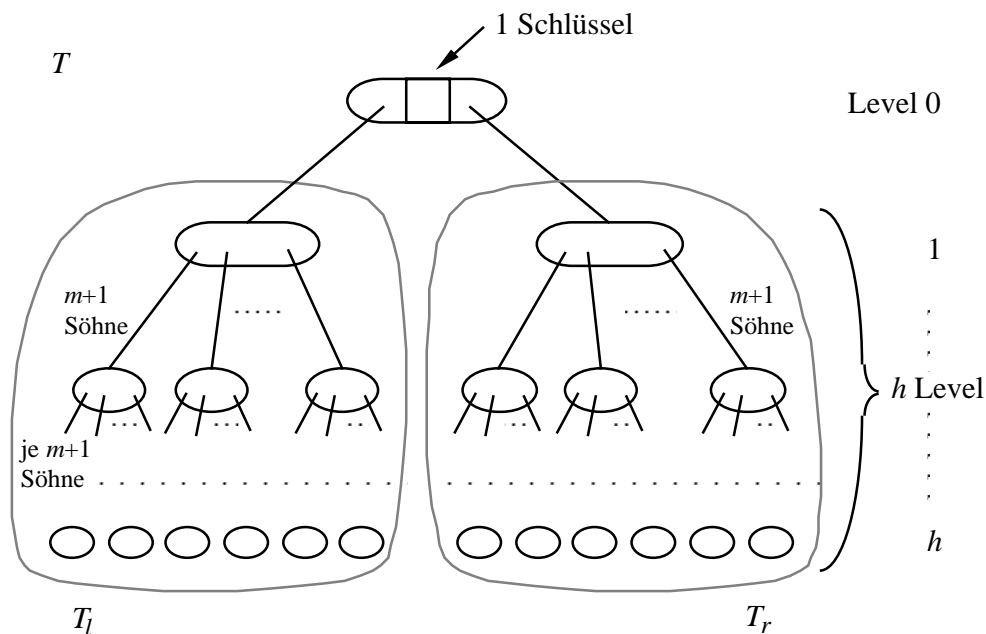


Abbildung 8.3: Minimal gefüllter B-Baum der Höhe  $h$

$T_l$  und  $T_r$  sind jeweils vollständige Bäume vom Grad  $(m+1)$ . Das Symbol “#” stehe für “Anzahl”.

$$\begin{aligned}
 \#Knoten(T_l) &= 1 + (m+1) + (m+1)^2 + \dots + (m+1)^{h-1} \\
 &= \frac{(m+1)^h - 1}{(m+1) - 1}
 \end{aligned}
 \quad (\text{Grundlagen I})$$



$$\begin{aligned}
\# \text{Schlüssel}(T_l) &= m \cdot \frac{(m+1)^h - 1}{m} \\
&= (m+1)^h - 1 \\
\# \text{Schlüssel}(T) &= 2 \cdot (m+1)^h - 1
\end{aligned}$$

Seien nun  $n$  Schlüssel in einem Baum der Höhe  $h$  gespeichert. Es gilt

$$\begin{aligned}
n &\geq 2 \cdot (m+1)^h - 1 \\
(m+1)^h &\leq \frac{n+1}{2} \\
h &\leq \log_{(m+1)} \left( \frac{n+1}{2} \right) \\
&= O(\log_{(m+1)} n)
\end{aligned}$$

Die Struktur eines Knotens, damit also auch einer Speicherseite, könnte man z.B. so festlegen:

```

type   BNode   = record   used:  1..2m;
                                   keys:  array[1..2m] of keytype;
                                   sons: array[0..2m] of BNodeAddress
                                   end

```

Das Feld *used* gibt an, wieviele Schlüssel im Knoten gespeichert sind. Die Zeiger auf Söhne vom Typ *BNodeAddress* sind nun logische Seitennummern, mit denen etwa das Betriebssystem etwas anfangen kann. Für *keytype* ist angenommen, daß Schlüssel fester Länge gespeichert werden.

**Beispiel 8.3:** Nehmen wir an, daß *keytype* und *BNodeAddress* jeweils in 4 Bytes darstellbar sind und daß Seiten der Größe 1 kByte benutzt werden. Dann kann  $m = 63$  gewählt werden. Sei  $n = 10^6$ .

$$\begin{aligned}
h &\leq \log_{64} 500000 \\
h_{\max} &= \lfloor \log_{64} 500000 \rfloor = 3
\end{aligned}$$

Also die maximale Höhe ist 3, der Baum hat dann 4 Ebenen. Jeder Schlüssel kann mit 4 Seitenzugriffen gefunden werden. □

Der Suchalgorithmus sollte offensichtlich sein. Bei dem beschriebenen Knotentyp kann innerhalb eines Knotens binär gesucht werden. Die Kosten für eine Suche sind beschränkt durch die Höhe des Baumes.

Die Eleganz des B-Baumes liegt nun darin, daß diese Struktur auch unter Änderungsoperationen (Einfügen, Löschen) auf recht einfache Art aufrecht erhalten werden kann. Die Algorithmen für das Einfügen und Entfernen verletzen temporär die Struktur des B-Baumes, indem Knoten mit  $2m+1$  Schlüsseln entstehen (diese Verletzung heißt *Overflow*, der Knoten ist überfüllt) oder Knoten mit  $m-1$  Schlüsseln (*Underflow*, der Knoten ist unterfüllt). Es wird dann eine Overflow- oder Underflow-Behandlung eingeleitet, die jeweils die Struktur in Ordnung bringt.

### Einfügen und Löschen

Die Algorithmen für das Einfügen und Entfernen kann man so formulieren:

```
algorithm insert (root, x)
{füge Schlüssel x in den Baum mit Wurzelknoten root ein}
suche nach x im Baum mit Wurzel root;
if x nicht gefunden
then sei p das Blatt, in dem die Suche endete; füge x an der richtigen Position in p
    ein;
    if p hat jetzt  $2m+1$  Schlüssel then overflow (p) end if
end if.
```

```
algorithm delete (root, x)
{entferne Schlüssel x aus dem Baum mit Wurzel root}
suche nach x im Baum mit Wurzel root;
if x wird gefunden
then if x liegt in einem inneren Knoten
    then suche x', den Nachfolger von x (den nächstgrößeren gespeicherten
        Schlüssel) im Baum (x' liegt in einem Blatt); vertausche x mit x'
    end if;
    sei p das Blatt, das x enthält; lösche x aus p;
    if p ist nicht die Wurzel
        then if p hat nun  $m-1$  Schlüssel then underflow (p) end if
        end if
end if.
```

**Overflow**

Ein Overflow eines Knotens  $p$  wird mit einer Operation  $split(p)$  behandelt, die den Knoten  $p$  mit  $2m+1$  Schlüsseln am mittleren Schlüssel  $k_{m+1}$  teilt, sodaß Knoten mit Schlüsselfolgen  $k_1 \dots k_m$  und  $k_{m+2} \dots k_{2m+1}$  entstehen, die jeweils  $m$  Schlüssel enthalten.  $k_{m+1}$  wandert "nach oben", entweder in den Vaterknoten oder in einen neuen Wurzelknoten. Dadurch kann der Vaterknoten überlaufen. Diese Algorithmen lassen sich am besten graphisch anhand der von ihnen durchgeführten Baumtransformationen beschreiben.

**algorithm**  $overflow(p) = split(p)$ .

**algorithm**  $split(p)$   
 {teile den Knoten  $p$ }

**Fall 1:**  $p$  hat einen Vater  $q$ . Knoten  $p$  wird so geteilt:

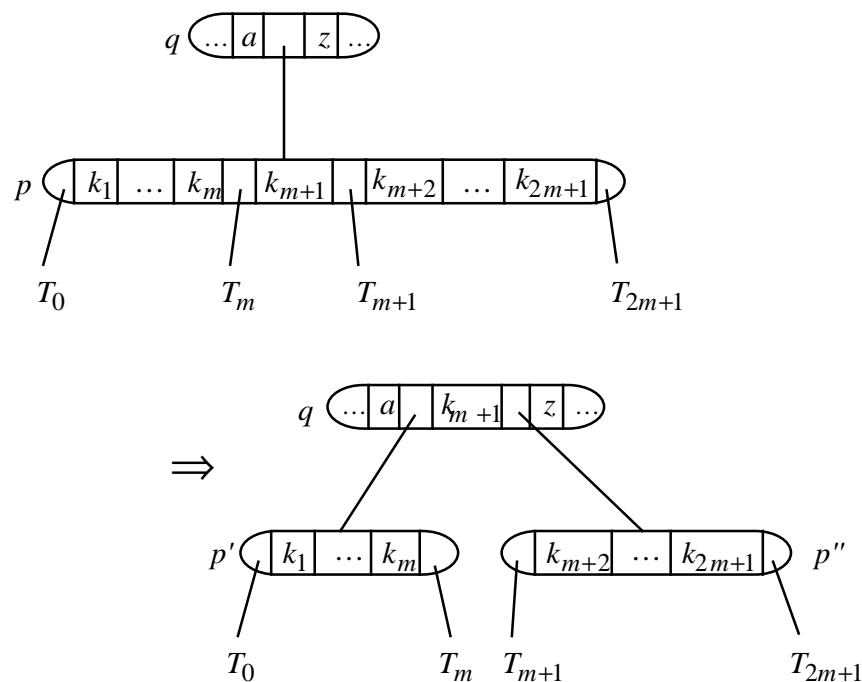


Abbildung 8.4: Aufteilen von  $p$ , wenn  $p$  nicht die Wurzel ist

**if**  $q$  hat nun  $2m+1$  Schlüssel **then**  $overflow(q)$  **end if**

**Fall 2:**  $p$  ist die Wurzel. Knoten  $p$  wird so geteilt:

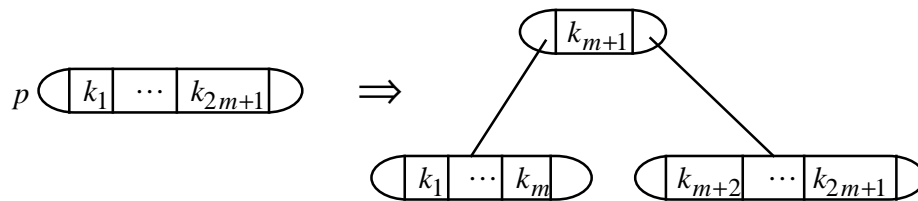


Abbildung 8.5: Aufteilen der Wurzel  $p$

**end split.**

Die Behandlung eines Overflow kann sich also von einem Blatt bis zur Wurzel des Baumes fortpflanzen.

### Underflow

Ein *Nachbar* eines Knotens sei ein direkt benachbarter Bruder. Um einen Underflow in  $p$  zu behandeln, werden der oder die Nachbarn von  $p$  betrachtet. Wenn einer der Nachbarn genügend Schlüssel hat, wird seine Schlüsselfolge mit der von  $p$  ausgeglichen (Operation *balance*), sodaß beide etwa gleichviele Schlüssel haben. Andernfalls wird  $p$  mit dem Nachbarn zu einem einzigen Knoten verschmolzen (Operation *merge*).

```

algorithm underflow ( $p$ )
  {behandle die Unterfüllung des Knotens  $p$ }
  if  $p$  hat einen Nachbarn  $p'$  mit  $s > m$  Schlüsseln
  then balance ( $p, p'$ )
  else da  $p$  nicht die Wurzel sein kann, muß  $p$  einen Nachbarn mit  $m$  Schlüsseln
    haben; sei  $p'$  so ein Nachbar mit  $m$  Schlüsseln;
    merge ( $p, p'$ )
  end if.
  
```

Die Operationen *balance* und *merge* lassen sich ebenso wie *split* am besten graphisch darstellen:

**algorithm** *balance* ( $p, p'$ )

balanciere Knoten  $p$  mit seinem Nachbarknoten  $p'$  folgendermaßen

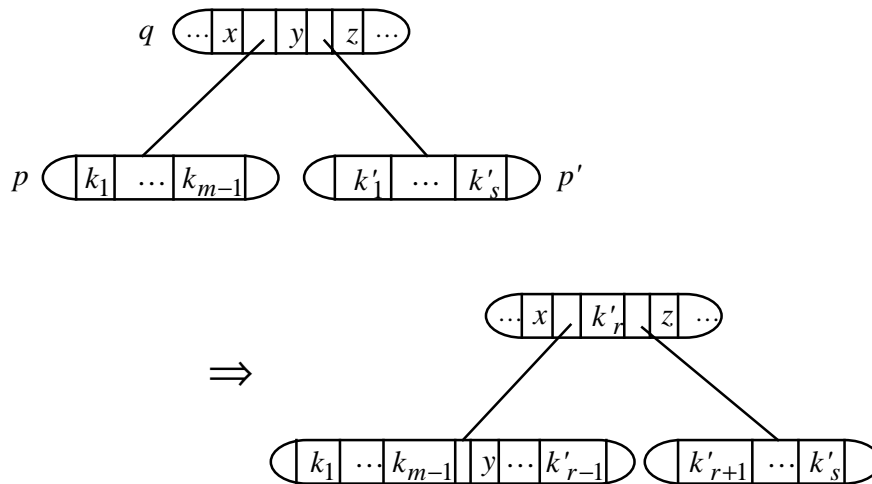


Abbildung 8.6: Balancieren der Knoten  $p$  und  $p'$

wobei  $k'_r$  der mittlere Schlüssel der gesamten Schlüsselfolge ist, also

$$r = \left\lceil \frac{m+s}{2} \right\rceil - m$$

**end** *balance*.

Die Formel für  $r$  gilt für den in [Abbildung 8.6](#) dargestellten Fall, daß der mittlere Schlüssel aus Knoten  $p'$  zu wählen ist.

**algorithm** *merge* ( $p, p'$ )

verschmelze Knoten  $p$  mit seinem Nachbarknoten  $p'$  folgendermaßen:

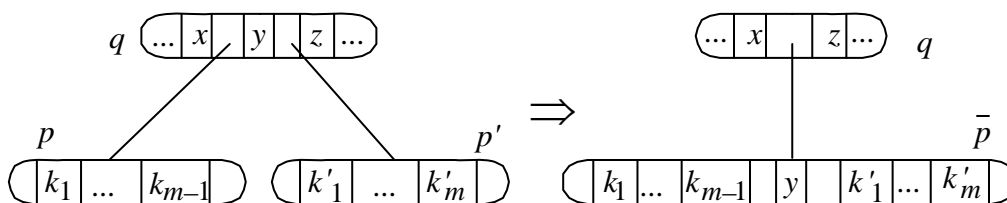


Abbildung 8.7: Verschmelzen der Knoten  $p$  und  $p'$

**if**  $q$  ist nicht die Wurzel und hat  $m-1$  Schlüssel

**then** *underflow* ( $q$ )

**elsif**  $q$  ist die Wurzel und hat keinen Schlüssel mehr

**then** gib den Wurzelknoten frei und laß *root* auf  $\bar{p}$  zeigen.

**end if.**

Auch eine Löschoption kann sich also bis zur Wurzel fortpflanzen, wenn jeweils die *Merge*-Operation durchgeführt werden muß.

**Beispiel 8.4:** Wir betrachten die Entwicklung eines B-Baumes der Ordnung 2 unter Einfüge- und Löschoptionen. Es werden jeweils die Situationen gezeigt, wenn ein Overflow (+) oder ein Underflow (-) aufgetreten ist, und die Behandlung der Strukturverletzung.

- (a) Einfügen: 50 102 34 19 5 / 76 42 2 83 / 59 70 12 17 (die Schrägstriche bezeichnen Positionen, an denen restrukturiert wird).

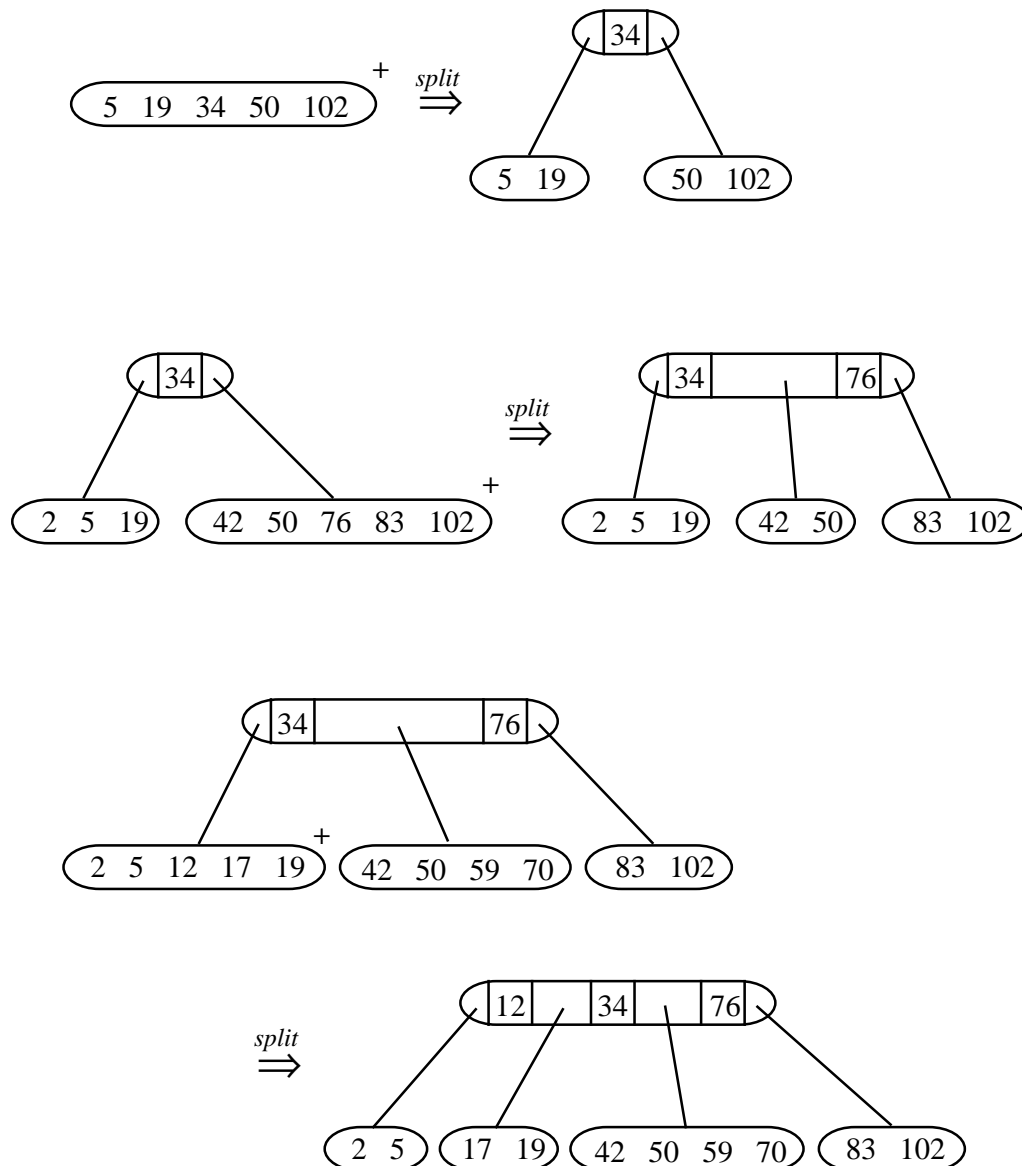


Abbildung 8.8: Aufbau des B-Baumes

(b) 83 entfernen

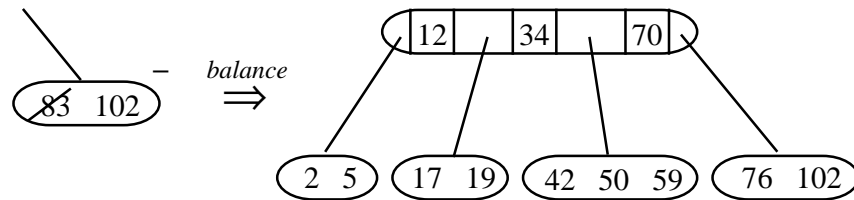


Abbildung 8.9: Entfernen des Schlüssels 83

(c) 2 entfernen

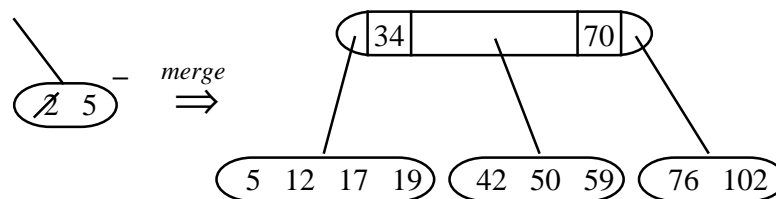


Abbildung 8.10: Entfernen des Schlüssels 2

□

Die Kosten für eine Einfüge- oder Löschoption sind offensichtlich ebenfalls proportional zur Höhe des Baumes. Der B-Baum unterstützt also alle Dictionary-Operationen in  $O(\log_{(m+1)} n)$  Zeit, der Platzbedarf ist  $O(n)$ . Die Speicherplatzausnutzung ist garantiert besser als 50% (abgesehen von der Wurzel).

Beim praktischen Einsatz von B-Bäumen, etwa in Datenbanksystemen, werden meist Varianten des hier gezeigten Grundschemas verwendet. Z.B. ist es üblich, in den Blättern Datensätze, in den inneren Knoten hingegen Schlüssel zu speichern; diese Schlüssel haben dann nur Wegweiserfunktion bei der Suche nach Datensätzen. Wenn als Schlüssel Zeichenketten verwendet werden, kürzt man diese soweit wie möglich ab, ohne daß die Wegweiserfunktion verlorengeht. Kriterium für Underflow und Overflow ist dann nicht mehr die Anzahl der Schlüssel (die ja nun variable Länge haben), sondern der Füllungsgrad der Seite. Man erreicht damit unter anderem, daß mehr Schlüssel auf eine Seite passen, der Verzweigungsgrad steigt und die Höhe des Baumes geringer wird.

Schließlich kann der B-Baum auch als interne balancierte Baumstruktur eingesetzt werden. In diesem Fall ist es günstig, den Verzweigungsgrad minimal zu wählen (da die Kosten für das Suchen innerhalb eines Knotens nun auch ins Gewicht fallen) und man benutzt B-Bäume der Ordnung 1. Hier hat jeder Knoten 2 oder 3 Söhne, deshalb spricht

man von *2-3-Bäumen*. Ebenso wie AVL-Bäume erlauben sie Suche, Einfügen, Entfernen in  $O(\log n)$  Zeit und  $O(n)$  Speicherplatz.

**Selbsttestaufgabe 8.1:** Nehmen wir an, die Knoten eines modifizierten B-Baumes sollten nicht nur zur Hälfte, sondern zu mindestens zwei Dritteln gefüllt sein. Wie muß man das Verfahren für das Einfügen ändern, damit dies gewährleistet wird? Welche Vor- und Nachteile hätte ein derart veränderter B-Baum?  $\square$

## 8.2 Literaturhinweise

B-Bäume stammen von Bayer und McCreight [1972]; eine ältere File-Organisationsmethode, die bereits gewisse Ähnlichkeiten aufweist, ist die ISAM-Technik (index sequential access method) [Ghosh und Senko 1969]. Erwartungswerte für die Speicherplatzausnutzung eines B-Baumes wurden von Nakamura und Mizzogushi [1978] berechnet (vgl. auch Yao [1985]). Es ergibt sich unabhängig von der Ordnung des B-Baumes eine Speicherplatzausnutzung von  $\ln 2 \approx 69\%$ , wenn  $n$  zufällig gewählte Schlüssel in einen anfangs leeren B-Baum eingefügt werden. Die Speicherplatzausnutzung kann erhöht werden, wie in [Aufgabe 8.1](#) angedeutet; derart “verdichtete” Bäume wurden von Culik *et al.* [1981] untersucht. Wie am Ende des [Abschnitts 8.1](#) erwähnt, bilden Datenbanksysteme das Haupteinsatzfeld für B-Bäume. Dafür wurden verschiedene Varianten entwickelt, etwa mit dem Ziel, effizienten sequentiellen Zugriff zu erreichen und Schlüssel, die Zeichenketten sind, zu komprimieren [Wedekind 1974, Bayer und Unterauer 1977, Küspert 1983, Wagner 1973]. Derartige Techniken werden in [Lockemann und Schmidt 1987] diskutiert; ein Überblicksartikel zu B-Bäumen und ihren Varianten ist [Comer 1979].



## Lösungen zu den Selbsttestaufgaben

### Aufgabe 7.1

Der Array *father* enthält nach dem Aufruf der Methode *Dijkstra* den Baum der kürzesten Wege (rote Kanten), wobei *father[i]* den Vaterknoten des Knotens *i* in diesem Baum bezeichnet. Zu Beginn wird für alle Knoten der Vater "0" angenommen (Voraussetzung: der Graph ist zusammenhängend). Die gelben Knoten ergeben sich implizit: Ein Knoten *i* ist gelb, wenn *dist[i] ≠ ∞* und *green[i] = false*. Für  $\infty$  setzen wir in der Implementierung *Float.MAX\_VALUE* ein.

```
public static void Dijkstra(float[][] cost, int[] father)
{
    int n = cost.length; /* Zusicherung: cost ist quadratisch und
                           father hat die Länge n */

    float[] dist = new float[n];
    boolean[] green = new boolean[n];
    int w;
    float minDist;

    for(int i = 1; i < n; i++) // dist, green und father initialisieren
    {
        dist[i] = cost[0][i];
        father[i] = 0;
        green[i] = false;
    }

    green[0] = true;
    for(int i = 0; i < n - 1; i++) /* finde Knoten w mit minimalem
                                   Abstand minDist */
    {
        minDist = Float.MAX_VALUE;
        w = 0;
```

```

for(int j = 1; j < n; j++)
    if(dist[j] < minDist && !green[j])
    {
        minDist = dist[j];
        w = j;
    }
if(w > 0) green[w] = true;
else return; /* Alle j mit dist[j]  $\neq \infty$  sind grün, d.h. GELB ist
leer. Falls i < n - 1, ist der Graph nicht zusammenhängend. */

for(int j = 1; j < n; j++) p/* ggf. neuen (kürzeren) Weg
                               eintragen */
{
    if(dist[j] > dist[w] + cost[w][j])
    {
        dist[j] = dist[w] + cost[w][j];
        father[j] = w;
    }
}
}
}

```

### Aufgabe 8.1

Beim Einfügen darf Teilen von inneren Knoten erst dann vorgenommen werden, wenn der zu teilende Knoten einen vollständig gefüllten Bruder hat, dann können diese beiden Knoten auf drei neue verteilt werden, die jeweils mindestens  $\frac{4}{3} m$  Einträge haben. Bevor dieser Zustand eintritt, muß zwischen benachbarten Knoten ausgeglichen werden.

Vorteilhaft ist die bessere Speicherplatzausnutzung, die nun bei mindestens 66% liegt. Nachteilig ist allerdings, daß man dafür häufigeres Umverteilen der Knoteneinträge in Kauf nehmen muß.

## Literatur

- Bayer, R., und E.M. McCreight [1972]. Organization and Maintenance of Large Ordered Indexes. *Acta Informatica 1*, 173-189.
- Bayer, R., und K. Unterauer [1977]. Prefix-B-Trees. *ACM Transactions on Database Systems 2*, 11-26.
- Comer, D. [1979]. The Ubiquitous B-Tree. *ACM Computing Surveys 11*, 121-137.
- Culik, K., T. Ottmann und D. Wood [1981]. Dense Multiway Trees. *ACM Transactions on Database Systems 6*, 486-512.
- Dijkstra, E.W. [1959]. A Note on Two Problems in Connexion With Graphs. *Numerische Mathematik 1*, 269-271.
- Fredman, M.L., und R.E. Tarjan [1987]. Fibonacci Heaps and Their Use in Network Optimization. *Journal of the ACM 34*, 596-615.
- Ghosh, S., und M. Senko [1969]. File Organization: On the Selection of Random Access Index Points for Sequential Files. *Journal of the ACM 16*, 569-579.
- Hart, P.E., N.J. Nilsson und B. Raphael [1968]. A Formal Basis for the Heuristic Determination of Minimum Cost Paths. *IEEE Transactions on System Science and Cybernetics SSC-4*, 100-107.
- Johnson, D.B. [1977]. Efficient Algorithms for Shortest Paths in Sparse Networks. *Journal of the ACM 24*, 1-13.
- Küspert, K. [1983]. Storage Utilization in B\*-Trees With a Generalized Overflow Technique. *Acta Informatica 19*, 35-55.
- Lockemann, P.C., und J.W. Schmidt (Hrsg.) [1987]. Datenbank-Handbuch. Springer-Verlag, Berlin.
- Nakamura, T., und T. Mizzogushi [1978]. An Analysis of Storage Utilization Factor in Block Split Data Structuring Scheme. Proceedings of the 4th Intl. Conference on Very Large Data Bases, 489-495.
- Nilsson, N.J. [1982]. Principles of Artificial Intelligence. Springer-Verlag, Berlin.
- Wagner, R.E. [1973]. Indexing Design Considerations. *IBM Systems Journal 12*, 351-367.
- Wedekind, H. [1974]. On the Selection of Access Paths in a Data Base System. In: J.W. Klimbie und K.L. Koffeman (eds.), Data Base Management. North-Holland Publishing Co., Amsterdam.
- Yao, A.C. [1985]. On Random 2-3 Trees. *Acta Informatica 9*, 159-170.



## Index

### Numerisch

2-3-Baum [230](#)

### A

A\*-Algorithmus [218](#)  
Adjazenzmatrix [216](#)  
Algorithmus von Dijkstra [211](#)  
allgemeiner Suchbaum [220](#)

### B

balance [227](#)  
B-Baum [221](#)  
Block [219](#)

### D

delete [224](#)

### E

externe Datenstruktur [219](#)  
externer Algorithmus [219](#)

### H

Heuristikfunktion [218](#)

### I

index sequential access method [230](#)  
insert [224](#)  
ISAM-Technik [230](#)

### K

Kostenmaß [219](#)

### M

merge [226](#), [227](#)

### N

Nachbar [226](#)

### O

Overflow [224](#), [225](#), [226](#)

### P

persistent [219](#)  
Plattenspeicher [219](#)  
Priority Queue [217](#)

### S

Seite [219](#)  
Seitenzugriff [219](#)  
single source shortest path-Problem [211](#)  
Speicherplatzausnutzung [219](#), [230](#)  
Speicherstruktur [219](#)  
split [225](#)

### U

Underflow [224](#), [226](#)  
underflow [226](#)

**V**

Vielweg-Suchbaum [220](#), [221](#)

**Z**

Zugriffscharakteristika [219](#)

## **Inhaltsverzeichnis zum Kurs 01661 Datenstrukturen I**

<b>1</b>	<b>Einführung</b>	<b>1</b>
1.1	Algorithmen und ihre Analyse	2
1.2	Datenstrukturen, Algebren, Abstrakte Datentypen	22
1.3	Grundbegriffe	32
1.4	Weitere Aufgaben	35
1.5	Literaturhinweise	36
<b>2</b>	<b>Programmiersprachliche Konzepte für Datenstrukturen</b>	<b>39</b>
2.1	Datentypen in Java	40
2.1.1	Basisdatentypen	41
2.1.2	Arrays	42
2.1.3	Klassen	45
2.2	Dynamische Datenstrukturen	49
2.2.1	Programmiersprachenunabhängig: Zeigertypen	49
2.2.2	Zeiger in Java: Referenztypen	53
2.3	Weitere Konzepte zur Konstruktion von Datentypen	57
	Aufzählungstypen	58
	Unterbereichstypen	59
	Sets	60
2.4	Literaturhinweise	61
<b>3</b>	<b>Grundlegende Datentypen</b>	<b>63</b>
3.1	Sequenzen (Folgen, Listen)	63
3.1.1	Modelle	64
	(a) Listen mit first, rest, append, concat	64
	(b) Listen mit expliziten Positionen	65
3.1.2	Implementierungen	68
	(a) Doppelt verkettete Liste	68
	(b) Einfach verkettete Liste	73
	(c) Sequentielle Darstellung im Array	77
	(d) Einfach oder doppelt verkettete Liste im Array	78
3.2	Stacks	82
3.3	Queues	89
3.4	Abbildungen	91
3.5	Binäre Bäume	92
	Implementierungen	99
	(a) mit Zeigern	99
	(b) Array - Einbettung	100
3.6	(Allgemeine) Bäume	101
	Implementierungen	104

(a) über Arrays	104
(b) über Binärbäume	104
3.7 Weitere Aufgaben	105
3.8 Literaturhinweise	107
<b>4 Datentypen zur Darstellung von Mengen</b>	<b>109</b>
4.1 Mengen mit Durchschnitt, Vereinigung, Differenz	109
Implementierungen	110
(a) Bitvektor	110
(b) Ungeordnete Liste	111
(c) Geordnete Liste	111
4.2 Dictionaries: Mengen mit INSERT, DELETE, MEMBER	113
4.2.1 Einfache Implementierungen	114
4.2.2 Hashing	115
Analyse des “idealen” geschlossenen Hashing	120
Kollisionsstrategien	126
(a) Lineares Sondieren (Verallgemeinerung)	126
(b) Quadratisches Sondieren	126
(c) Doppel-Hashing	127
Hashfunktionen	128
(a) Divisionsmethode	128
(b) Mittel-Quadrat-Methode	128
4.2.3 Binäre Suchbäume	129
Durchschnittsanalyse für binäre Suchbäume	136
4.2.4 AVL-Bäume	141
Updates	141
Rebalancieren	142
4.3 Priority Queues: Mengen mit INSERT, DELETETMIN	152
Implementierung	153
4.4 Partitionen von Mengen mit MERGE, FIND	156
Implementierungen	157
(a) Implementierung mit Arrays	157
(b) Implementierung mit Bäumen	160
Letzte Verbesserung: Pfadkompression	162
4.5 Weitere Aufgaben	163
4.6 Literaturhinweise	166
<b>5 Sortieralgorithmen</b>	<b>167</b>
5.1 Einfache Sortiervverfahren: Direktes Auswählen und Einfügen	168
5.2 Divide-and-Conquer-Methoden: Mergesort und Quicksort	171
Durchschnittsanalyse für Quicksort	179
5.3 Verfeinertes Auswählen und Einfügen: Heapsort und Baumsortieren	182
Standard-Heapsort	182



Analyse von Heapsort	184
Bottom-Up-Heapsort	186
5.4 Untere Schranke für allgemeine Sortiervverfahren	188
5.5 Sortieren durch Fachverteilen: Bucketsort und Radixsort	192
5.6 Weitere Aufgaben	195
5.7 Literaturhinweise	196
<b>6 Graphen</b>	<b>199</b>
6.1 Gerichtete Graphen	200
6.2 (Speicher-) Darstellungen von Graphen	202
(a) Adjazenzmatrix	202
(b) Adjazenzlisten	204
6.3 Graphdurchlauf	205
6.4 Literaturhinweise	209
<b>7 Graph-Algorithmen</b>	<b>211</b>
7.1 Bestimmung kürzester Wege von einem Knoten zu allen anderen	211
Implementierungen des Algorithmus Dijkstra	216
(a) mit einer Adjazenzmatrix	216
(b) mit Adjazenzlisten und als Heap dargestellter Priority Queue	217
7.2 Literaturhinweise	218
<b>8 Externes Suchen</b>	<b>219</b>
8.1 Externes Suchen: B-Bäume	220
Einfügen und Löschen	224
Overflow	225
Underflow	226
8.2 Literaturhinweise	230



## Index zum Kurs 01661 Datenstrukturen I

### Symbole

$\Omega$ -Notation 20

### Numerisch

2-3-Baum 230

### A

A\*-Algorithmus 218  
Abbildung 91  
Abkömmling 95  
abstrakter Datentyp 1, 2, 34, 37  
Abstraktionsebene 1  
Ada 61  
addcomp 158  
adjazent 200  
Adjazenzlisten 204  
Adjazenzmatrix 202, 216  
ADT 34  
Aggregation 39  
Akkumulator 7  
Aktivierungs-Record 86  
Algebra 1, 2, 23  
algebraische Spezifikation 37  
algebraischer Entscheidungsbaum 197  
Algorithmus 1, 32  
Algorithmus von Dijkstra 211  
allgemeiner Baum 101  
allgemeiner Suchbaum 220  
allgemeines Sortiervverfahren 188  
amortisierte Laufzeit 160  
Analyse 2  
Analyse von Algorithmen 37  
ancestor 95  
append 64, 82  
Äquivalenzrelation 156

Array 39  
Assemblersprache 7  
atomarer Datentyp 41  
Aufzählungstyp 59  
Ausgangsgrad 200  
average case 10  
AVL-Baum 109, 141, 182  
Axiom 24, 34

### B

Bag 152  
balance 227  
balancierter Suchbaum 141  
Baum 92  
Baum beschränkter Balance 166  
Baumsortieren 182  
B-Baum 221  
Behälter 115, 193  
best case 10  
bester Fall 10  
Betriebssystem 52  
binäre Suche 17  
binärer Suchbaum 109, 129  
Bitvektor-Darstellung 110  
Blatt 94  
Block 219  
bol 66  
Bottom-Up-Heapsort 186  
breadth-first-Spannbaum 207  
breadth-first-traversal 207  
Breitendurchlauf 205, 207  
Bruder 95  
BubbleSort 171  
Bucket 193  
bucket 115  
BucketSort 193

**C**

Clever Quicksort 181  
concat 64, 82

**D**

DAC-Algorithmus 175  
DAG 209  
Datenobjekt 27  
Datenspeicher 7  
Datenstruktur 1, 2, 22, 34  
Datentyp 1, 23, 34  
Definitionsmodul 28  
degenerierter binärer Suchbaum 135  
delete 66, 113, 133, 224  
deletemin 153, 155  
denotationelle Spezifikation 37  
depth-first-Spannbaum 207  
depth-first-traversal 206  
dequeue 89  
Dereferenzierung 50  
descendant 95  
Dictionary 109, 113  
difference 110  
directed acyclic graph 209  
direktes Auswählen 168  
dispose 52  
Divide-and-Conquer 171  
Divisionsmethode 128  
domain 91  
Doppel-Hashing 127  
Doppelrotation 143  
Duplikat 63

**E**

einfacher Pfad 201  
Eingangsgrad 200  
Einheitskosten 7  
Elementaroperation 6, 7  
empty 64, 109  
enqueue 89

Entscheidungsbaum 189  
enumerate 109, 110  
eol 66  
Expansion eines Graphen 205  
exponentiell 15  
extern 167  
externe Datenstruktur 219  
externer Algorithmus 219  
externes Verfahren 167

**F**

Feld 42  
Fibonacci-Zahlen 150  
FIFO 89  
find 66, 157, 158, 161  
findx 180  
first 64, 82  
front 65, 89  
Funktion 1, 3, 23

**G**

Garbage Collection 52  
Geburtstagsparadoxon 117  
gerichteter azyklischer Graph 209  
gerichteter Graph 199, 200  
geschlossenes Hashing 116, 118  
Gesetz 24  
Gewicht eines Baumes 165  
gewichtsbalancierter Baum 166  
Gleichverteilung 10  
Grad eines Baumes 102  
Grad eines Knotens 102, 200  
Graph 199

**H**

harmonische Zahl 125  
Hashfunktion 115, 128  
Hashing 109  
Haufen 153  
Heap 153

Heapsort 153, 171, 182  
heterogene Algebra 23, 34  
Heuristikfunktion 218  
Höhe eines Baumes 95

**I**

ideales Hashing 120  
in situ 167, 197  
index sequential access method 230  
Indextyp 42  
Infix-Notation 99  
innerer Knoten 95  
inorder 97  
Inorder-Durchlauf 182  
insert 66, 110, 113, 132, 153, 154, 224  
InsertionSort 168, 171  
Instruktion 7  
intern 167  
internes Verfahren 167  
intersection 110  
inverse Adjazenzliste 204  
inzident 200  
ISAM-Technik 230  
isempty 64  
isomorph 25

**K**

Kante 93, 200  
key 98  
key-Komponente 167, 182  
Klammerstruktur 84, 93  
Knoten 93, 200  
Knotenmarkierung 129  
Kollision 116  
Komplexität der Eingabe 6, 21  
Komplexität des Problems 20  
Komplexitätsklasse 9, 20  
Komponente 157  
Königsberger Brückenproblem 209  
konstant 15  
Korrektheit 5

Kostenmaß 7, 219

**L**

Länge eines Pfades 95  
last 65  
Laufzeit 2  
Laufzeitsystem 52  
leere Liste 64, 65  
left 98  
LIFO 84  
linear 15  
lineares Sondieren 119, 126  
links-vollständiger    partiell    geordneter  
Baum 154  
Liste 64  
Liste im Array 78  
Listenkopf 107  
Listenschwanz 107  
logarithmisch 15  
logarithmisches Kostenmaß 7

**M**

maketree 98  
mapping 91  
markierte Adjazenzmatrix 203  
markierter Graph 202  
Maschinenmodell 37  
Maschinensprache 7  
mehrsortige Algebra 23, 34  
member 113, 114, 131  
Menge 109  
Mengenoperation 61  
merge 157, 158, 159, 161, 226, 227  
MergeSort 172  
Mergesort 171  
Mittel-Quadrat-Methode 128  
Modell 25, 34  
Modul 1, 2  
monomorph 25, 34  
Multimenge 152  
Multiset 152

**N**

Nachbar 226  
Nachfahr 95  
Nachfolger 58  
next 66  
nil 49

**O**

offene Adressierung, 119  
offenes Hashing 116, 117  
offset 48  
O-Notation 11, 12, 15, 19, 21  
Operandenstack 84  
Operation 22, 33  
Operationssymbol 23, 33  
Operatorenstack 84  
optimal 20  
Ordnung 63, 110  
Overflow 224, 225, 226  
overflow 116

**P**

partiell geordneter Baum 153  
Partition 156  
partition 158  
PASCAL 61  
Permutation 167, 190  
persistent 219  
Pfad 95, 200  
Pfadkompression 162  
Plattenspeicher 219  
Platzbedarf 2, 6  
Pointer 49  
polymorph 25, 34  
Polynom 106  
polynomiell 15  
pop 82  
Postfix-Notation 99  
postorder 97  
pqueue 153

Präfix-Notation 99

pred 58  
preorder 97  
previous 66  
Primärkollision 127  
Priorität 152  
Priority Queue 109, 152, 217  
Probe 120  
Problem 32  
Programmspeicher 7  
Programmzähler 7  
Prozedur 1, 2  
Prozedurinkarnation 86  
push 82

**Q**

quadratisch 15  
Quadratisches Sondieren 126  
Queue 89  
QuickSort 172, 175  
Quicksort 171, 176, 180

**R**

Radixsort 194  
Radixsortieren 194  
RAM 7, 33, 37  
Random-Access-Maschine 7  
range 91  
rappend 89  
rationaler Entscheidungsbaum 197  
real RAM 7, 37  
Rebalancieren 142  
Rebalancieroperation 141  
Record 39, 47, 61  
Register 7  
Registermaschine 37  
rehashing 119  
Reheap 186  
Reihung 42  
Rekursionsgleichung 15, 173, 174  
rekursive Struktur 97

Repräsentation 39

rest 64, 82

retrieve 66

right 98

Ring 105

Rotation 142

## S

Saake und Sattler 2006 37

schlimmster Fall 10

Schlüssel 115

Schlüsseltransformation 115

Schlüsselvergleichs-Sortieralg. 191

Schlüsselvergleichs-Verfahren 188

Schlüsselwert 167

schrittweise Verfeinerung 34

Seite 219

Seitenzugriff 219

Sekundärkollision 127

SelectionSort 168

Selektion 42, 48

Selektor 48

Semantik 23

separate chaining 118

Sequenz 63

Set 60

set 110

Shellsort 195

Signatur 23, 33, 34

single source shortest path-Problem 211

Sorte 23, 33

Sortieralgorithmus 167

Sortierproblem 167, 188

spannender Wald 207

Speicherplatzausnutzung 219, 230

Speicherstruktur 219

Speicherzelle 7

Spezifikation 1

Spezifikation als abstrakter Datentyp 24

Spezifikation als Algebra 23

split 225

stabil 168

Stack 82

stack 82

Stackebene 84

Standard-Heapsort 182

Stapel 82

stark verbunden 201

stark verbundene Komponente 201

starke Komponente 201

Stirling'sche Formel 192

Strukturinvariante 141

succ 58

Suchen 109

## T

tail 107

Teilbaum 94, 95

Teilgraph 201

Teilheap 182

Tiefe eines Knotens 95

Tiefendurchlauf 205, 206

top 82

Trägermenge 23

tree 98

Turingmaschine 7, 33

Türme von Hanoi 87

Typ 1, 39

Typkonstruktor 68

Typsystem 40

## U

Überlauf 116

unabhängig 127

Underflow 224, 226

underflow 226

ungerichteter Graph 199

uniformes Hashing 120

union 110

universale Algebra 23

Universum 110

Unterbereichstyp 59

untere Schranke 20

**V**

Vater [94](#)  
Vielweg-Suchbaum [220](#), [221](#)  
vollständiger binärer Baum [96](#), [100](#)  
von Neumann, John [197](#)  
Vorfahr [95](#)  
Vorgänger [58](#)

**W**

Wald [102](#)  
Warteschlange [90](#), [152](#)

worst case [10](#)  
Wörterbuch [113](#)  
Wurzel [94](#), [205](#)  
Wurzelgraph [205](#)

**Z**

Zeiger [49](#)  
Zeigerstruktur [97](#)  
Zugriffscharakteristika [219](#)  
zyklische Liste [105](#)  
Zyklus [201](#)